Un siècle d'activité en Abitibi: évolution spatiotemporelle des émissions atmosphériques de métaux dans l'environnement



Membres du Projet

P.L.: N. Benoit¹, J. Jautzy¹, J. Marion¹

Coll.: J. Ahad¹, K. Aweke Arega^{1,8}, E. Berryman², O. Caron³, V. Cloutier⁵, A. Crémazie⁴, F. Gennaretti⁵, M. Gigoux⁶, G. Grosbois⁵, J. Laganière⁷, D. Lauzon⁸, T. Lolli^{1,4}, C.Meyer-Jacob⁵, D. Petts¹, R. Quijada-Campos^{1,3}, M. Rosabal³, S. Tirdad¹





¹ Geological Survey of Canada, Natural Resources Canada (NRCan)

² CanMet Mines, Natural Resources Canada

³ UQAM

⁴ INRS-ETE

⁵ UQAT

⁶ Consorem & UQAM

⁷ Centre de foresterie des Laurentides, Natural Resources Canada

⁸ École polytechnique de Montréal

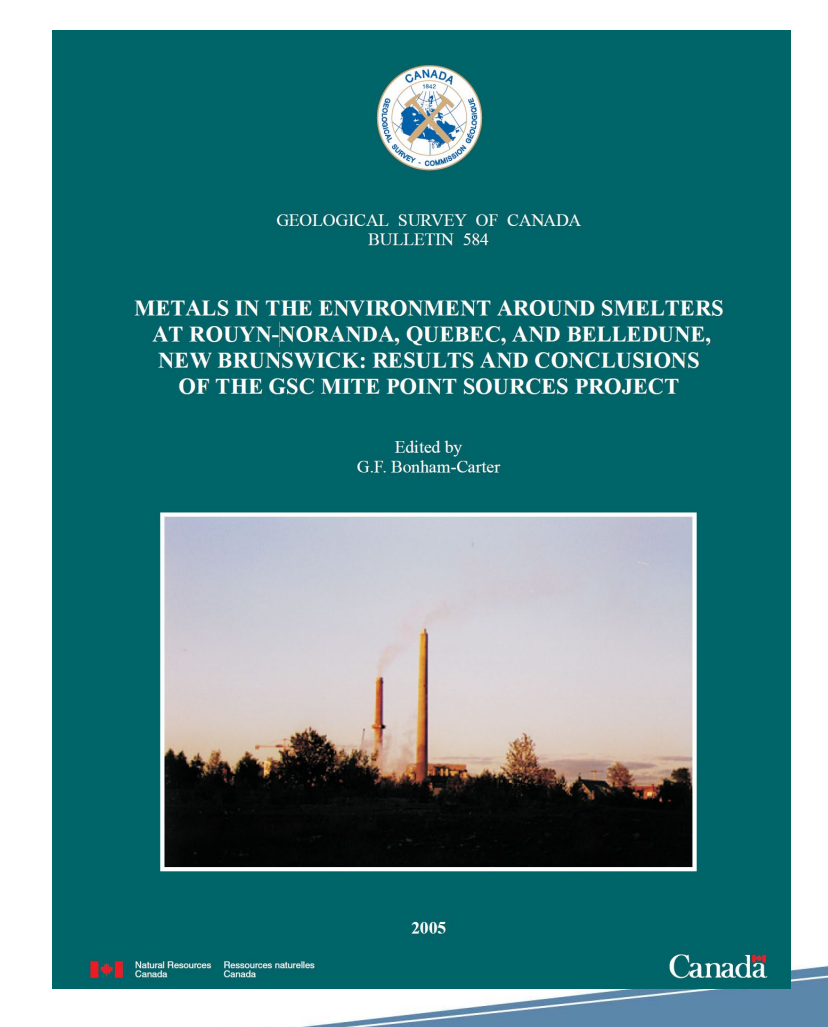
Projet MITE (Métaux Dans l'Environnement)

Projet lancé en 1997 par la CGC (durée 5 ans).

But:

- Distinguer les sources de métaux dans l'environnement autour des fonderies
- Identifier la distance de transport des métaux depuis une fonderie

Focus: environnements autour des fonderies Flin Flon (MB), Rouyn-Noranda (QC), Trail (C-B) et Belledune (NB).





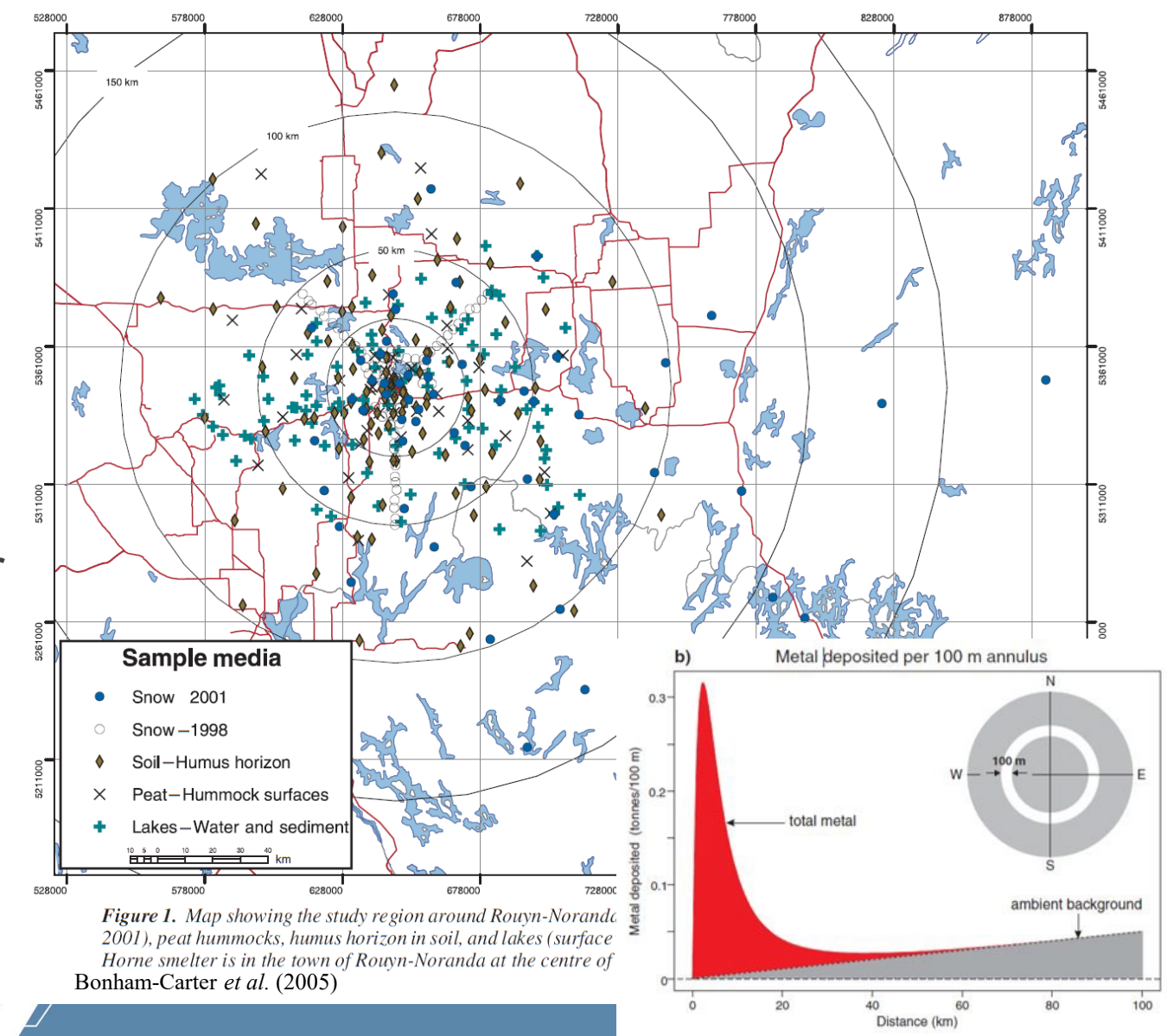


Il y a 25 ans: le projet MITE

Matrices étudiées (nb de site):

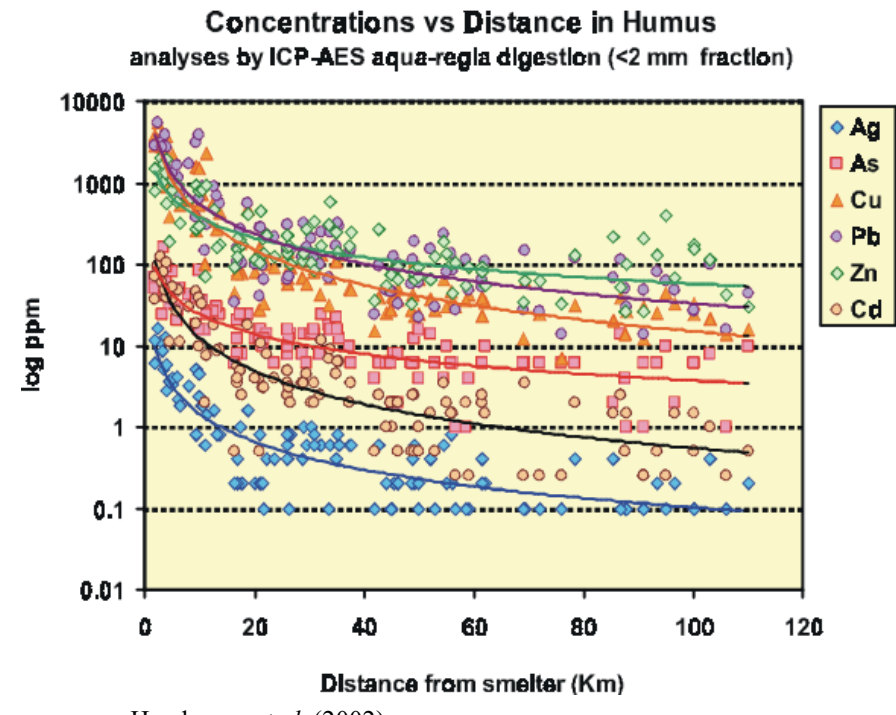
```
sol (106),
neige (139),
tourbe (37),
sédiments et eau de lacs (99),
arbres (5).
```

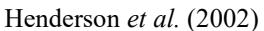
- Jusqu'à 250km avec une densité d'échantillonnage plus importante autour de la fonderie.
- Principaux métaux étudiés: As, Cd, Cu, Pb, Ni, Zn.



MITE conclusion – sols

- [métaux] diminuent de manière exponentielle en fonction de la distance par rapport à la fonderie.
- Anisotropie de l'empreinte jusqu'à 5 km plus loin vers l'est 5 km en direction opposée.
- Accumulation principalement dans l'humus.
- À quelques km de la fonderie un lessivage vers les horizons pédologiques B et C.
- Au-delà de 150 km, les [métaux] sont près des valeurs naturelles ou des limites de détection.





MITE conclusion – neige

- [métaux] diminuent de manière exponentielle en fonction de la distance par rapport à la fonderie.
- Calcul de flux de dépôts.
- Au-delà de 50 km, les sources des métaux dans la neige sont difficiles à distinguer (fonderie vs autre).
- La solubilité des métaux dans la neige est variable. Cd soluble à 90%, Pb et As 65 à 75% et Cu de 42 à 70%.
- Cu identifié comme le meilleur traceur de l'impact de la fonderie.

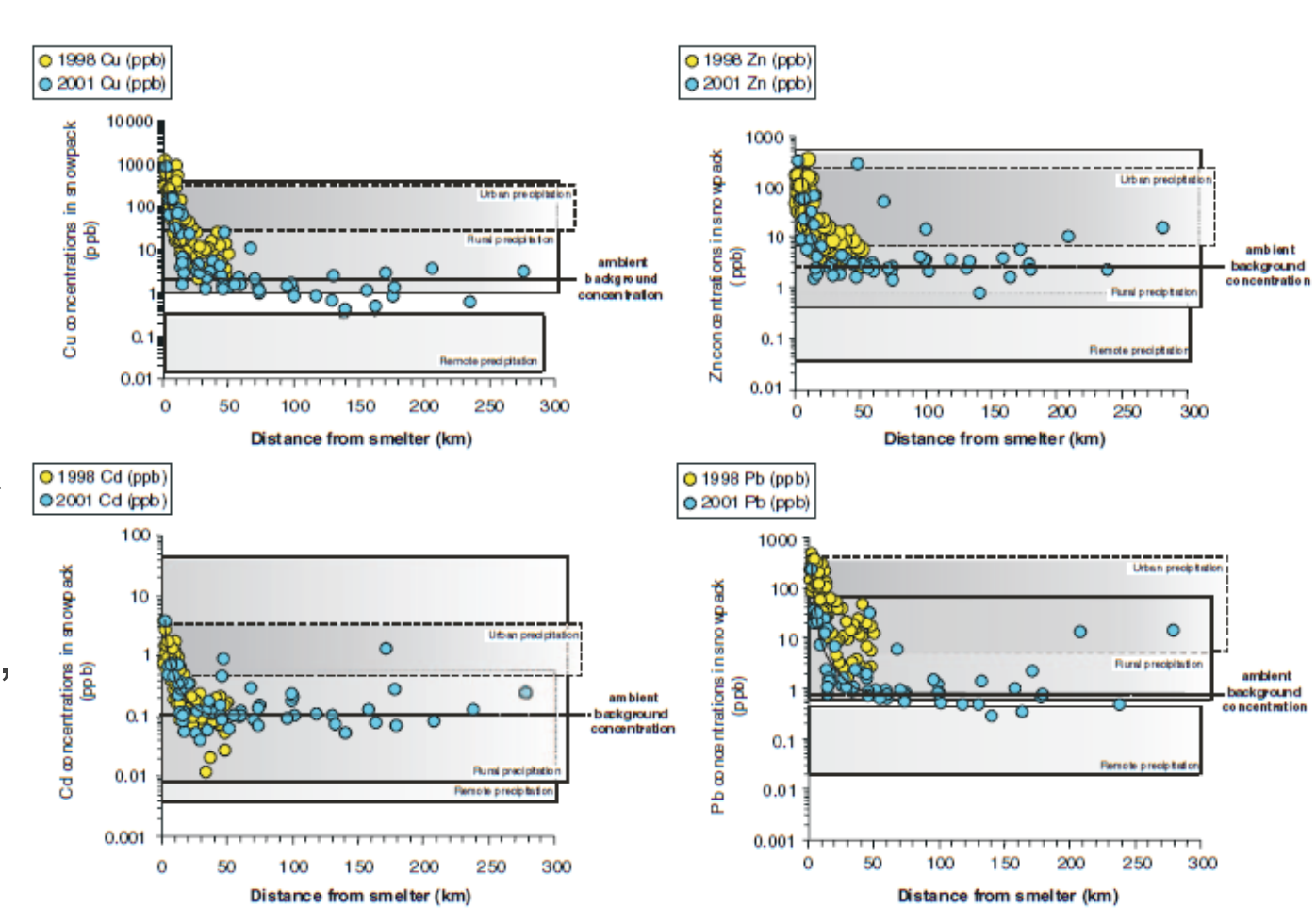


Figure 6. Concentrations (ppb or µg/L) of Cu, Pb, Zn, and Cd plotted against distance from the smelter (km). Ranges of remote, urban, and rural concentrations in wet deposition based on a world-wide survey by Galloway et al. (1982) are superimposed.

Kliza et al. (2005); Telmer et al. (2005)



MITE conclusion – tourbières

- Empreinte s'étend jusqu'à ~65km de la fonderie.
- Semble enregistrer un historique de déposition. Datation compliquée (mais¹³⁷Cs valide).
- Les teneurs en métaux ont augmenté depuis le démarrage des activités de la fonderie.
- Les teneurs en métaux ont diminué vers le dessus des carottes reflétant probablement la baisse des émissions.
- Buttes de tourbières présentent de meilleures profiles.

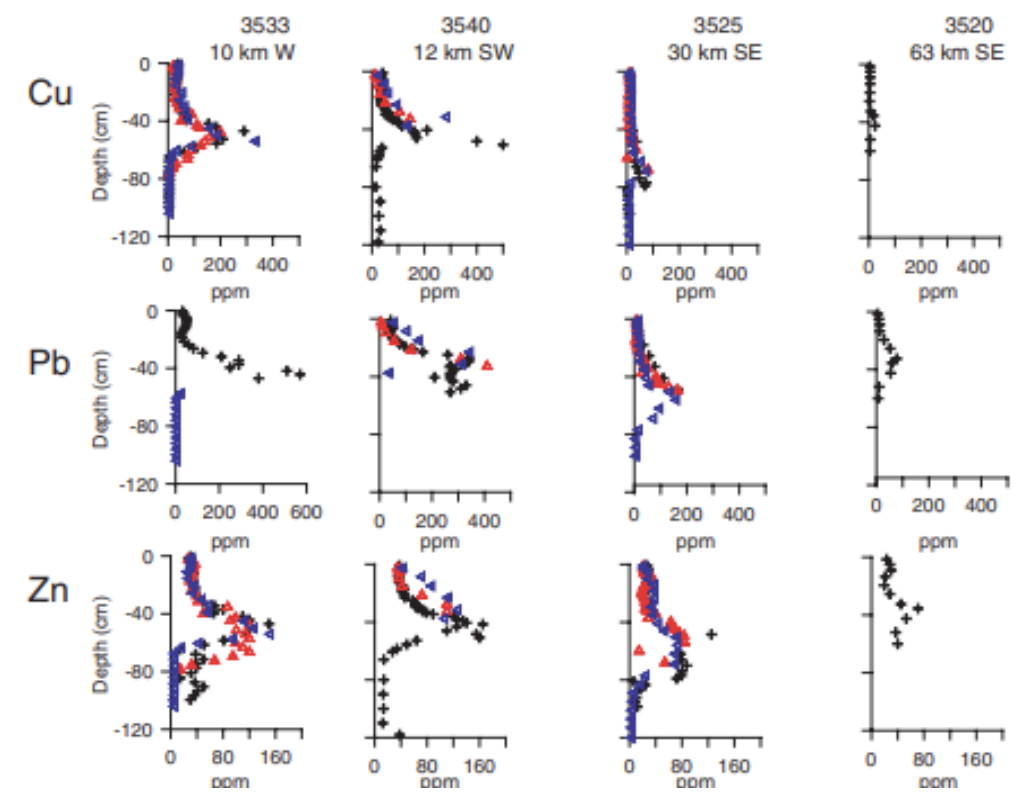


Figure 3. Distribution of Cu, Pb, Zn, Ca, and Ni in profile samples from tall hummocks at four peatland sites. Samples were analyzed by ICP-AES after HNO₃–HClO₄ digestion. At three of the sites, geochemical profiles were generated for two or more separate hummocks, indicated using different symbols. The dashed line on the Ca graphs represents the position of the water table.

Kettles, (2005); Kettles and Bonham-Carter (2002)



MITE conclusion – sédiments lacustres

- Empreinte s'étend jusqu'à 50km de la fonderie.
- Au-delà de 50 km, les sources des métaux dans les sédiments de lac sont difficiles à distinguer (fonderie vs autre).
- Les teneurs en métaux ont augmenté depuis le démarrage des activités de la fonderie.
- Modèle d'âge incertain Diagenèse et/ou compaction sédimentaire.
- NB: Gallon et al. (2006) bon modèle d'âge et impact fonderie jusqu'à 150km (5-35% Pb déposé) – isotopes Pb.

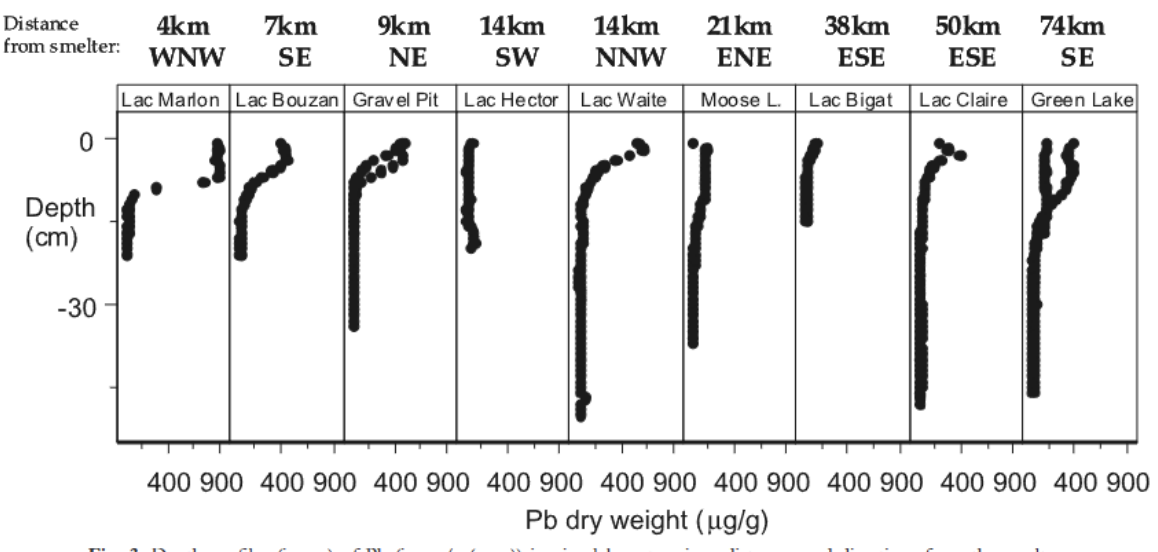


Fig. 3. Depth profiles (in cm) of Pb (in µg/g (ppm)) in nine lakes at various distances and directions from the smelter.

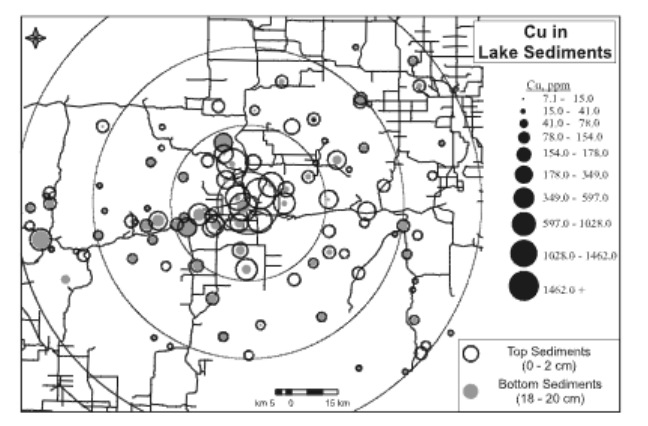


Fig. 4. Copper in surface sediments and pre-industrial sediments for 99 lakes surrounding the Rouyn-Noranda smelter.

Telmer et al. (2006)

Post : 0-2cm Pre :18-20cm



MITE conclusion – Épinettes noires

- Isotopes du plomb identifiés comme bons traceurs des sulfures de l'Abitibi.
- Effet de la fonderie immédiate et observé sur δ¹³C et δ²H.
- Métaux enregistrés avec 14-20 ans de délai.
- Au-delà de 150 km, les concentrations de métaux sont près des valeurs naturelles ou des limites de détection.

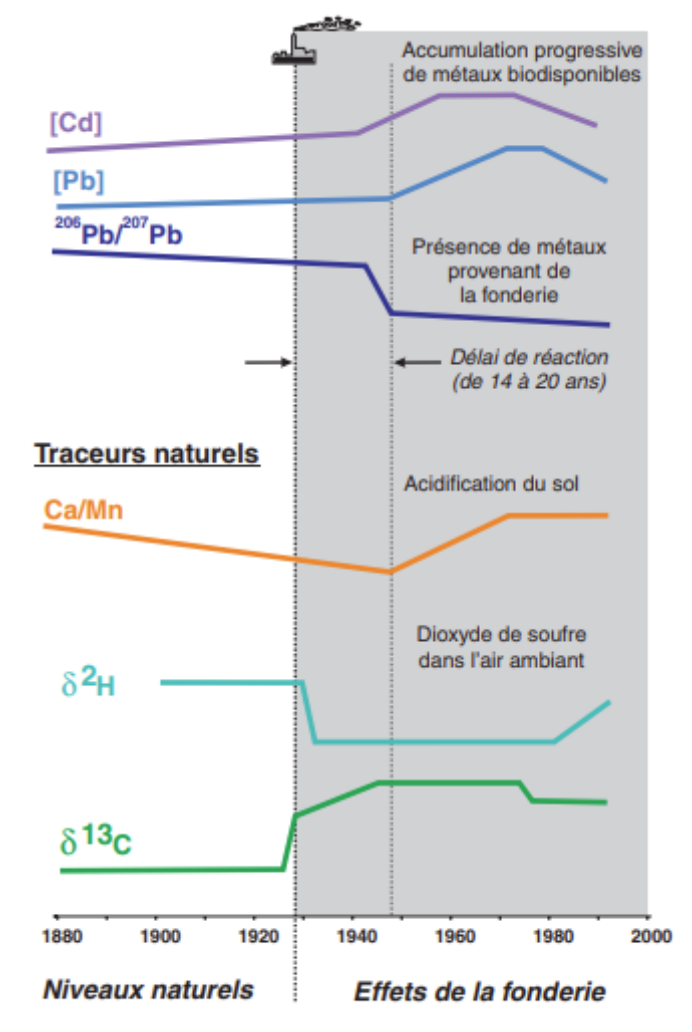


Figure 10. Synthèse des résultats des analyses Savard et al. (2002, 2005)



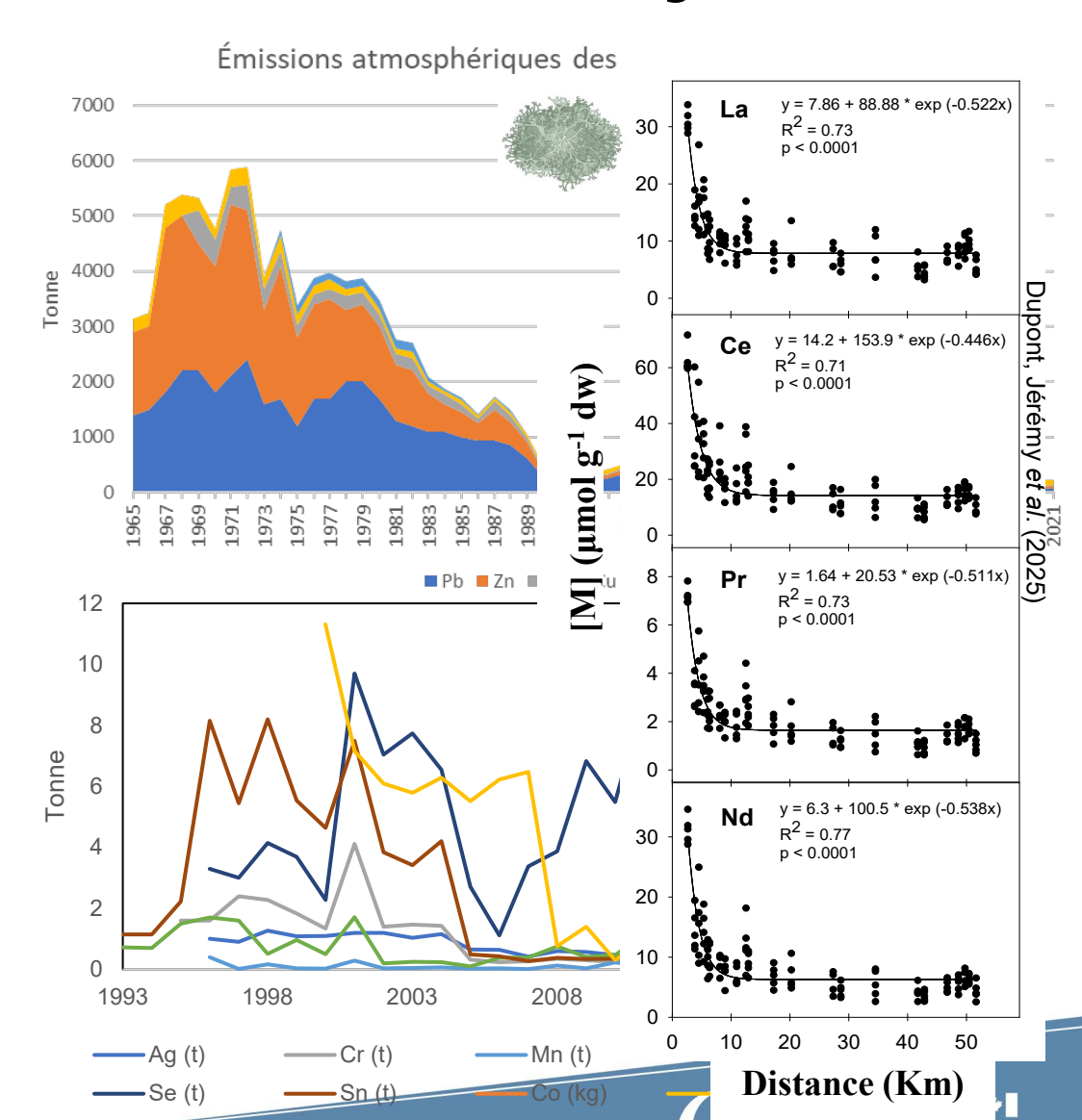


Profil d'émissions de la fonderie a changé depuis 1984 avec intrant croissant de recyclage de matériel électronique.

- Métal(loïd)es émergents d'intérêt économique et peu de connaissances quant à leur dispersion dans l'environnement et leur toxicité potentielle.
- Augmentations récentes de certains métal(loïde)s.

Les **métaux émergeants** sont associés à la production et au recyclage d'appareils électroniques au cours des dernières décennies. Ils incluent certains métaux et métalloïdes ainsi que des éléments du groupe des terres rares tels que les éléments suivants : REE, Ag, Cr, Co, Ga, In, Li, Mo, Pd, Pt, Sb, Se, Sn, Te, Tl, V, Zr.

Aujourd'hui



Sources: Noranda & INRP

1) Historique des dépôts de métaux



Sédiments de lacs

- enregistre les dépôts atmosphériques et du bassin versant
- couverture temporelle de quelques siècles
- Datation ²¹⁰Pb ¹³⁷Cs



Tourbières

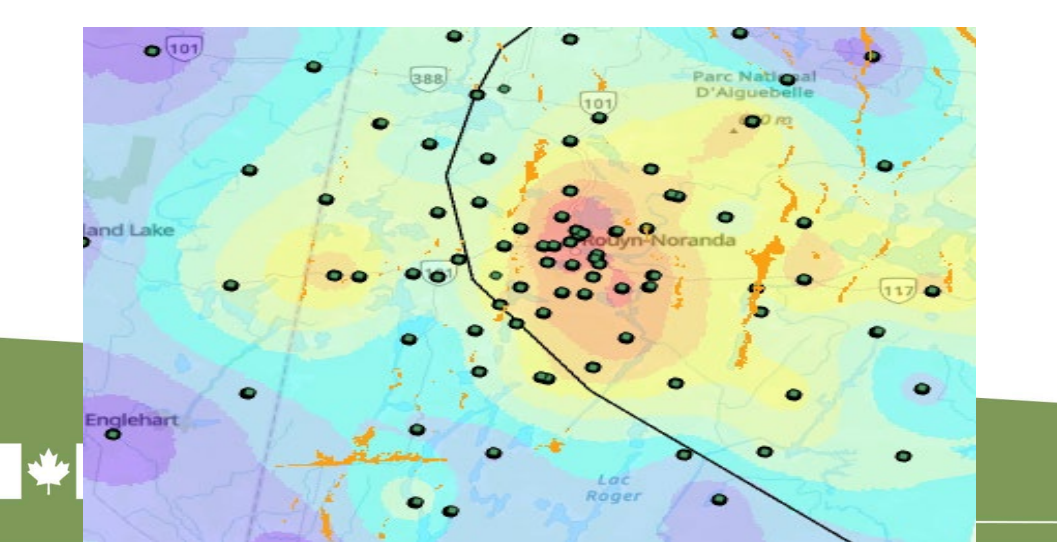
- enregistre les dépôts atmosphériques
- couverture temporelle de quelques siècles
- Datation ²¹⁰Pb ¹³⁷Cs



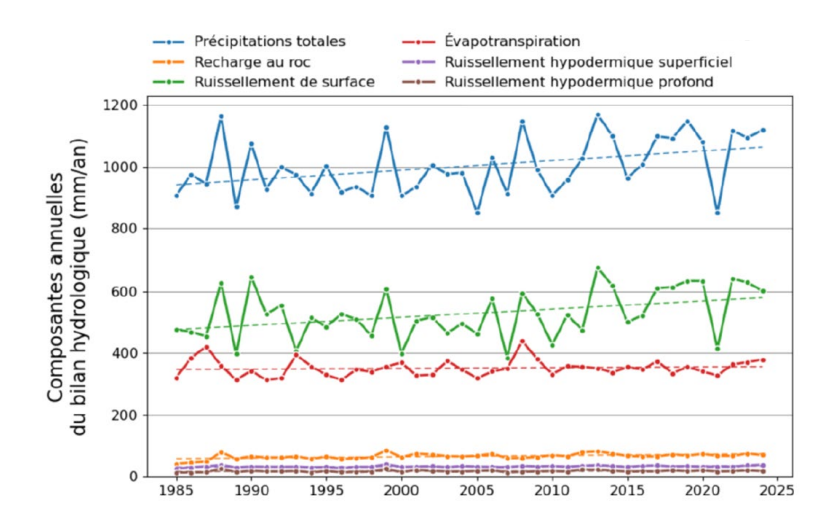
Épinettes noires

- enregistre les dépôts atmosphériques et ce que contient naturellement le sol
- couverture temporelle d'un peu plus d'un siècle (150 ans)
- datation absolue par comptage de cernes

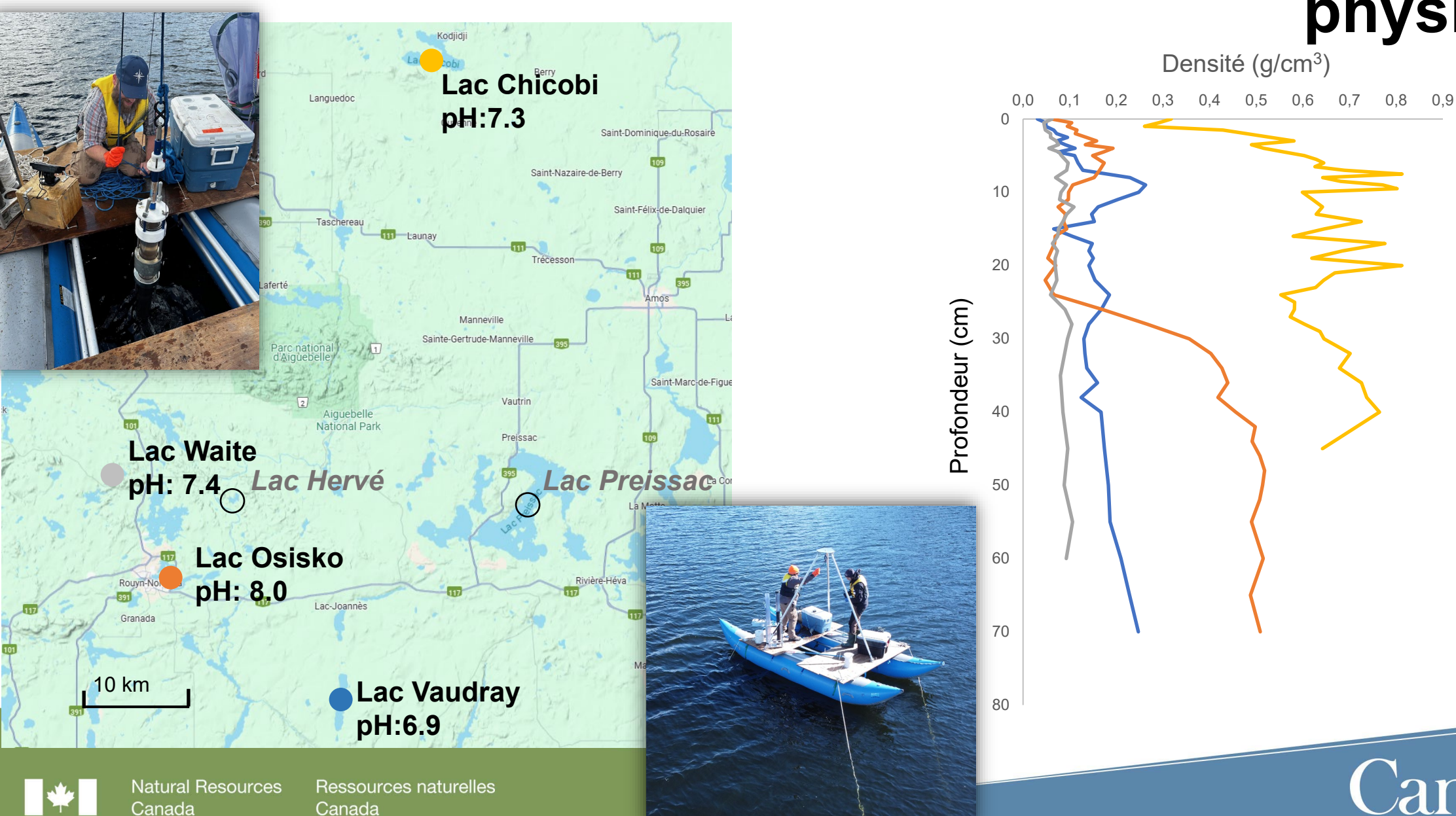
2) Modélisation spatiale des métaux en milieu forestier



3) Estimation stochastique de la recharge

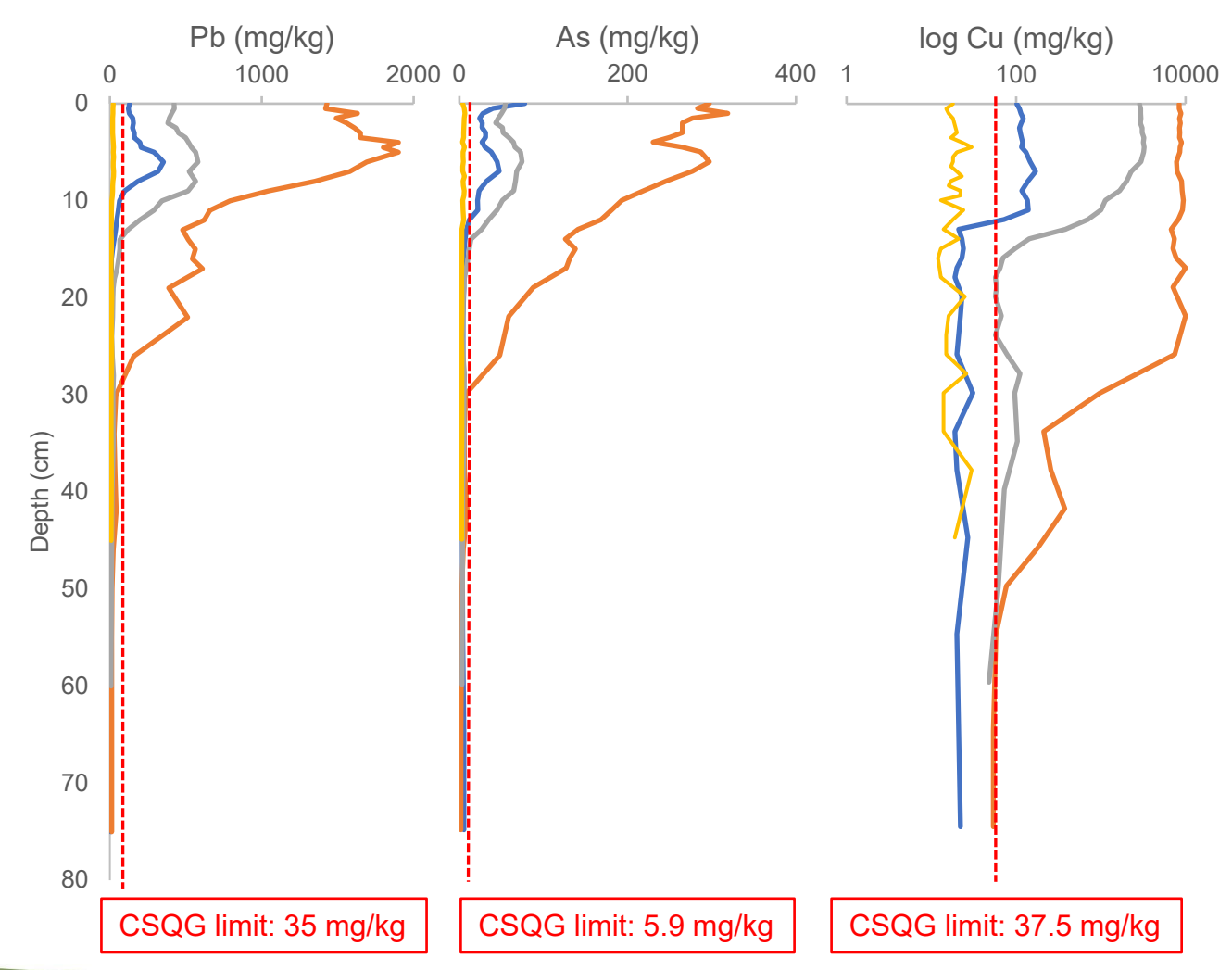


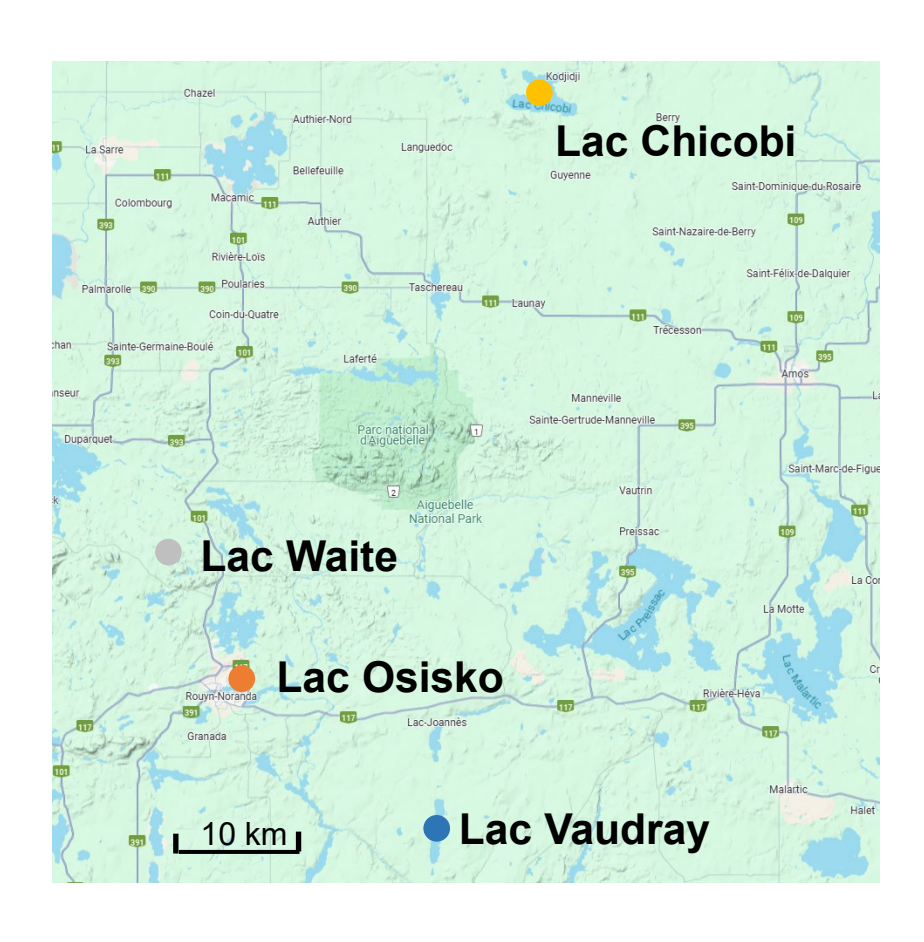
Sédiments lacustres – localisation & paramètres² physiques





Sédiments lacustres – Profils de [métaux]



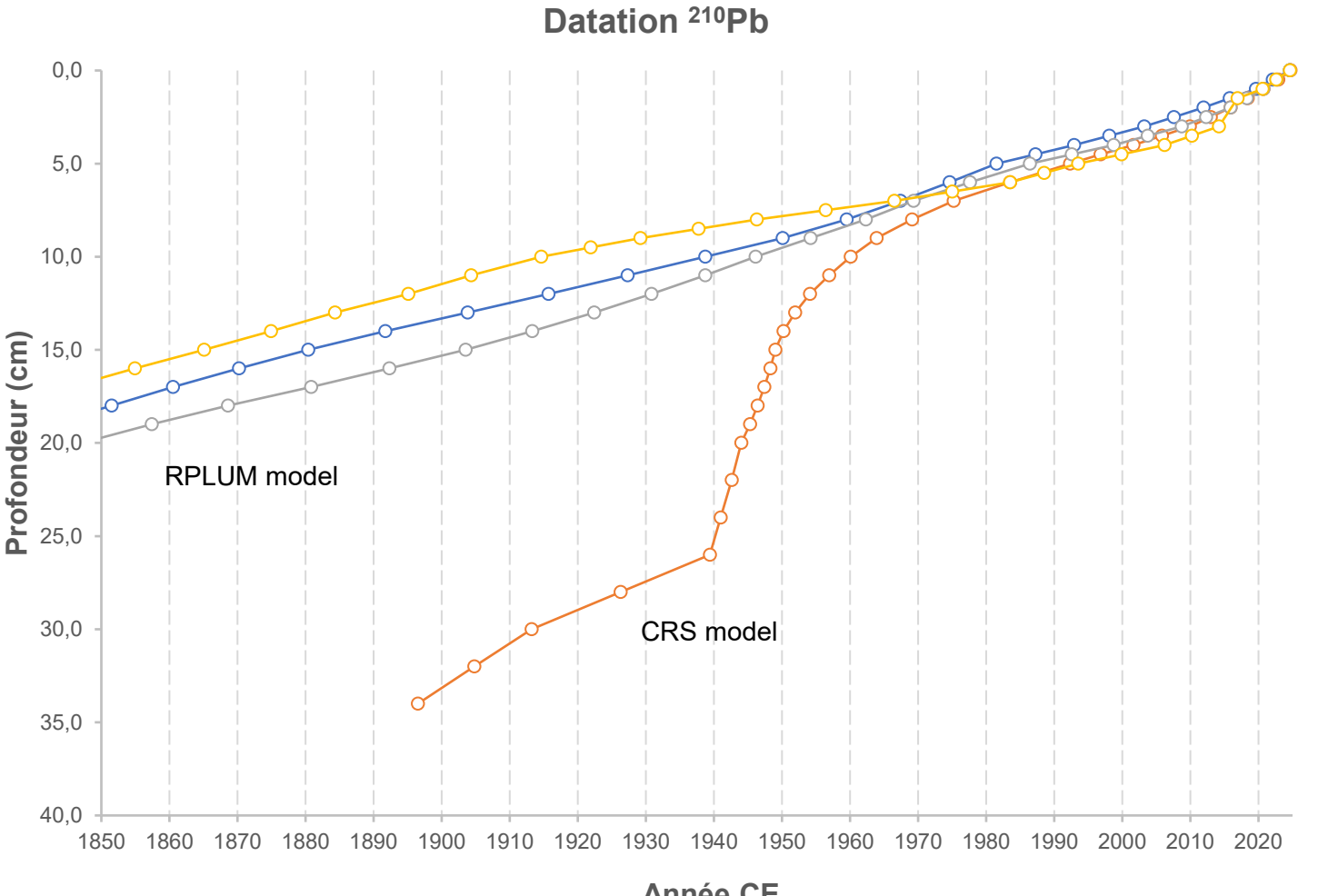


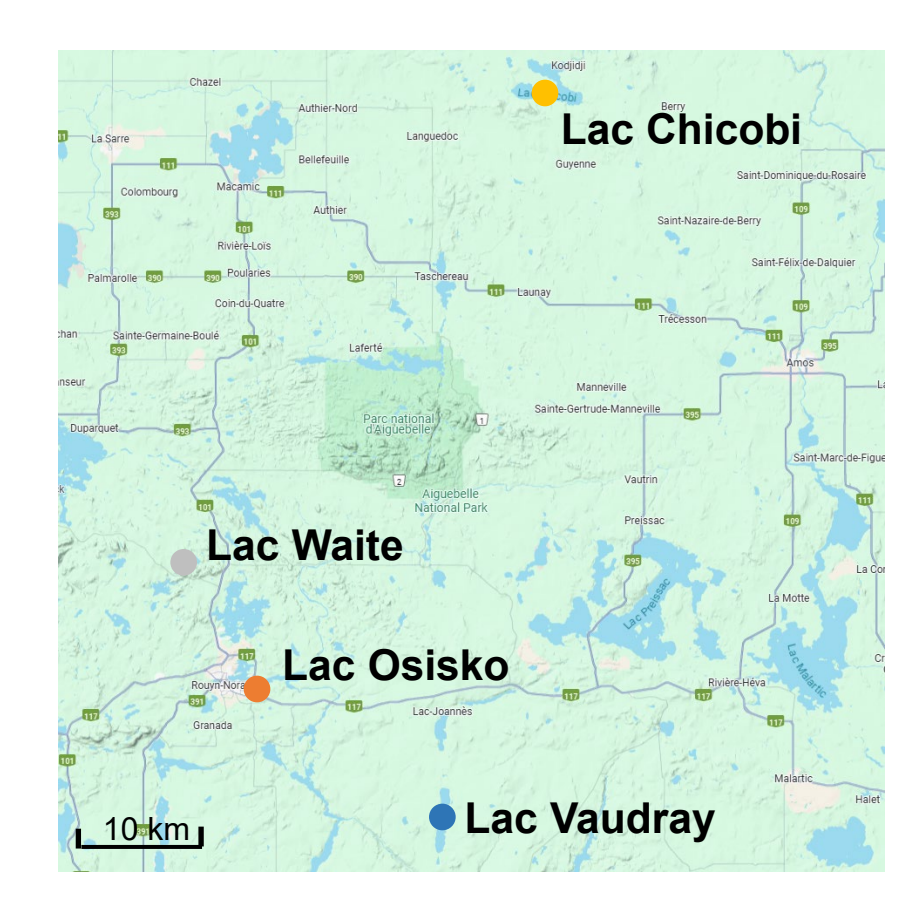
Canadian Sediment Quality Guidelines- Canadian council of Ministers of the Environment





Sédiments lacustres – Datation préliminaire



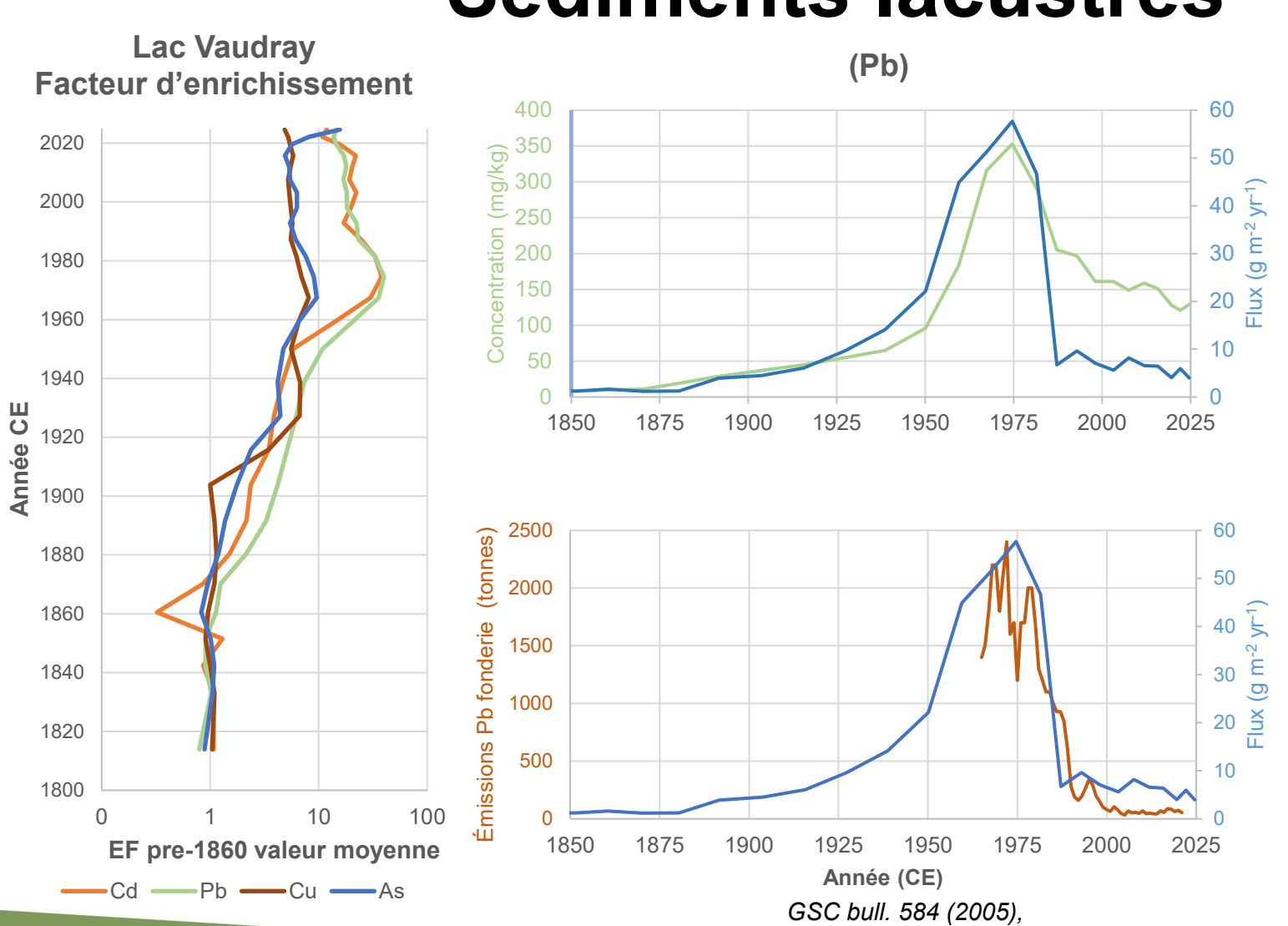


Année CE

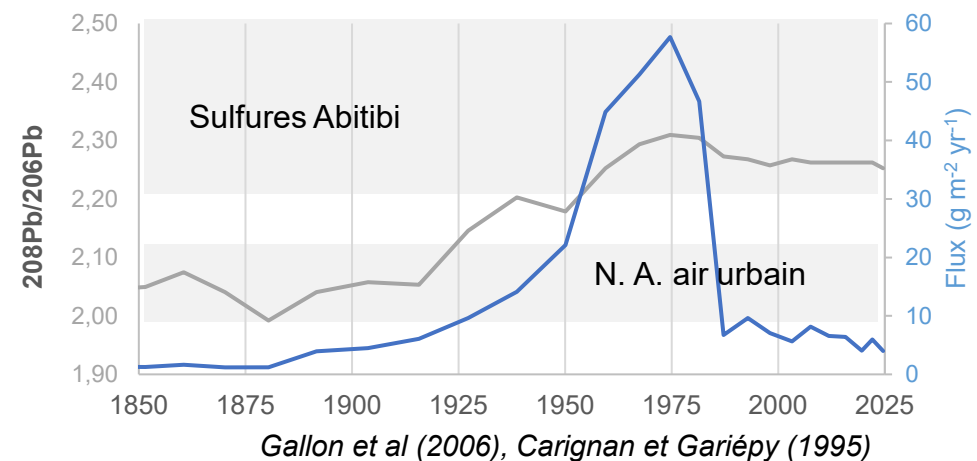


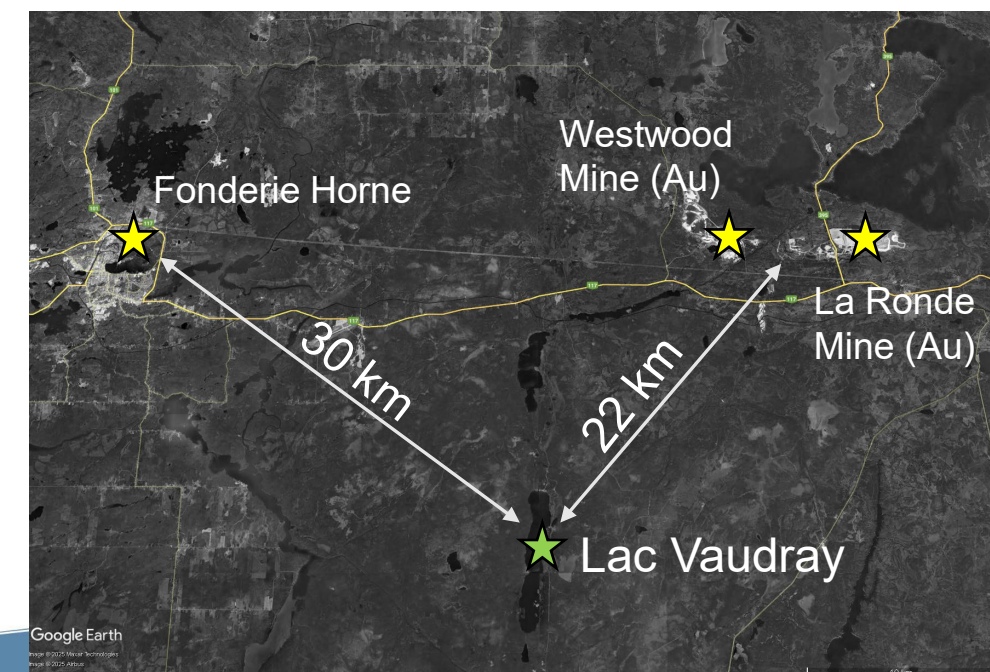


Sédiments lacustres – Source des métaux?



National Pollutant Release Inventory







Sédiments lacustres – À venir...

- Échantillonnage de lacs supplémentaires
- Datation, analyses géochimiques métaux émergeants et isotopes du Pb
- Intégration avec les autres archives environnementales
- Études des ostracodes en tant que sentinelles des stress environnementaux métalliques (isotopes agglomérés et géochimie des coquilles) Doctorant Tiziano Lolli





Tourbières & vieilles pessières

Tourbières

Effectué:

- Sous échantillonnage et datation ²¹⁰Pb des tourbières Vaudray & Chicobi.
- Taux d'accumulation rapide, ~70 cm, ca 1850 dans le bas du monolithe.

À venir:

- Comparaison de trois méthodes de digestion.
- Datation des autres monolithes.
- Analyses géochimiques des monolithes.

Épinettes noires

Effectué:

Datation et chronologie de croissance Vauze: 1949-2024 Vaudray: 1880-2024 Chicobi: 1930-2024

<u>À venir:</u>

- Comparaison des trois méthodes de digestion sur des écorces calcinés.
- Analyses géochimiques écorces et cernes.



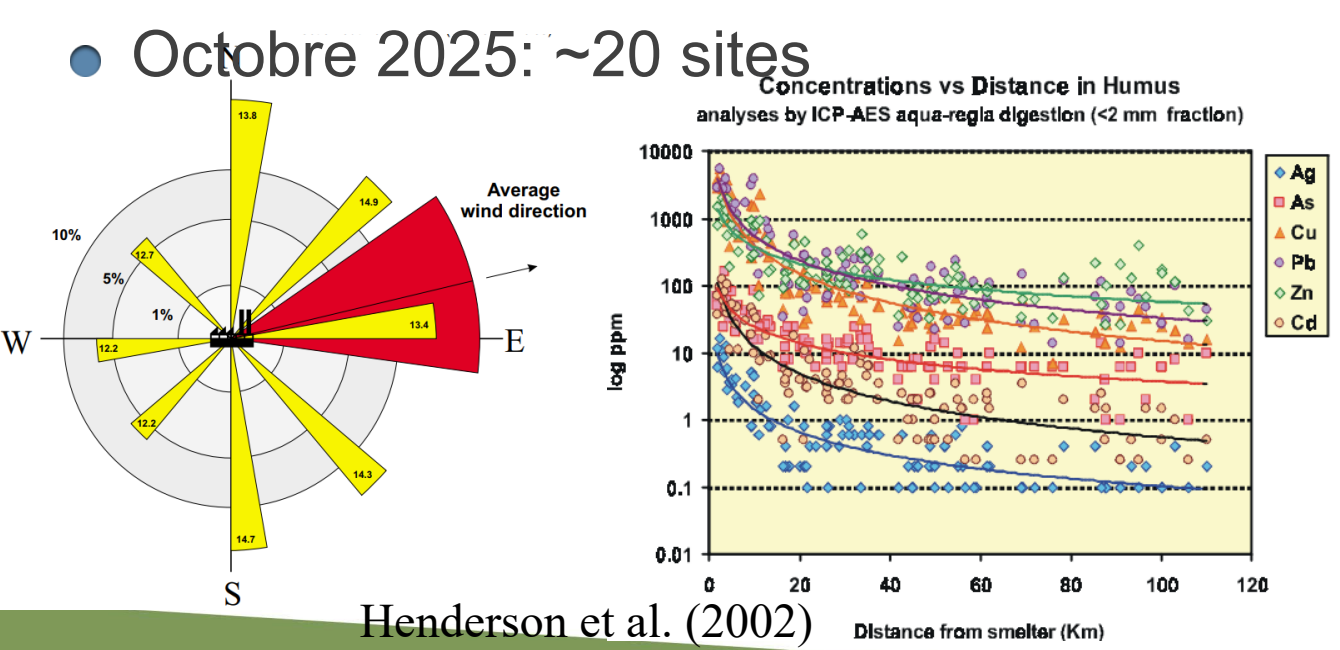


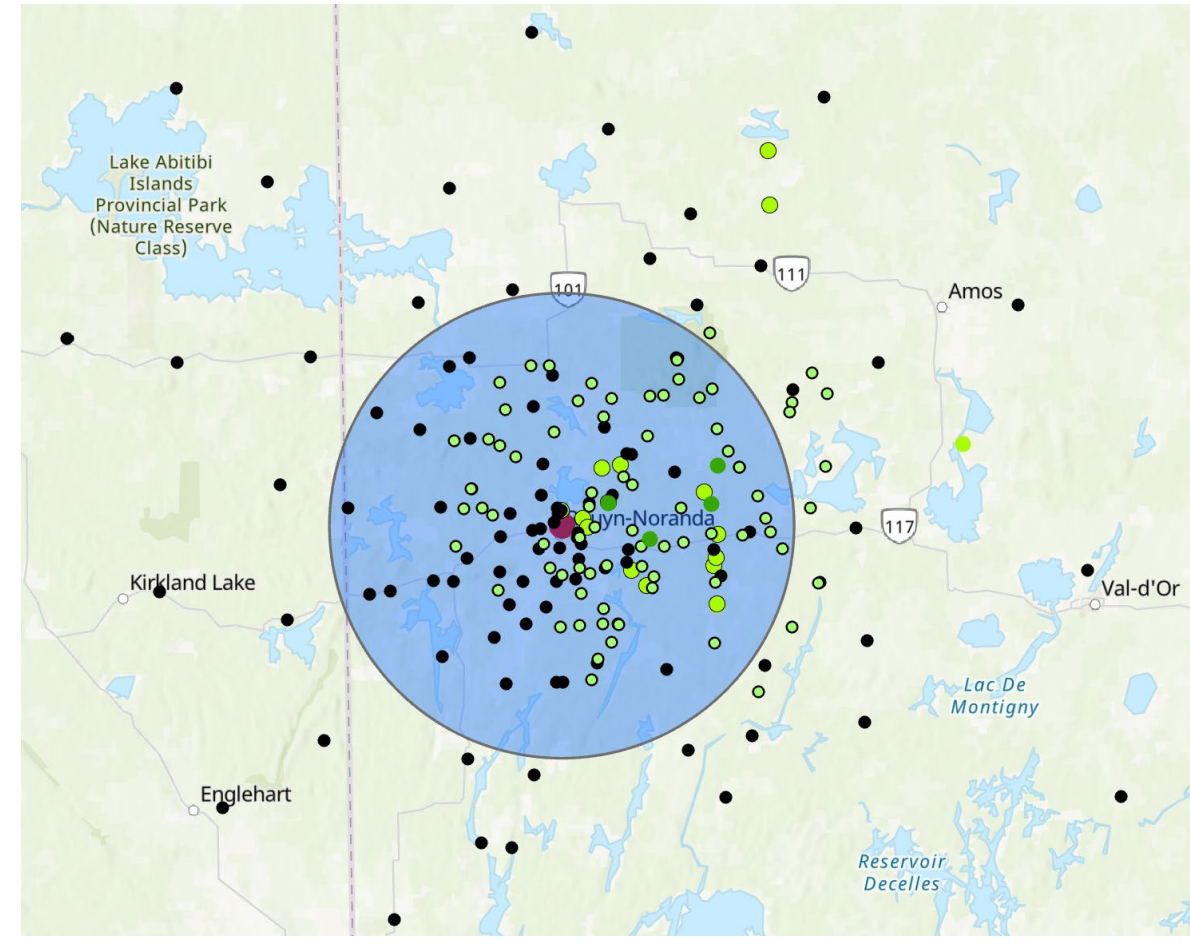
Ressources naturelles Canada



Modélisation spatiale des métaux en milieu forestier

- Fonderie Horne et stations MITE
- Rayon 40 km et zone d'échantillonnage
- Octobre 2024: 16 sites (7 pédons)
- Mai 2025: 80 sites (4 pédons)









Revoir les données MITE

- MITE : base de données sur les sols (complexe)
- 4 types de digestion : Aqua regia,
 Sodium pyrophasphate, multi-acide et hydroxylamine
- 3 méthodes d'analyse : ICP-AES, ICP-MS, INAA
- 3 granulométrie: 0.002mm, 0.063mm and 2mm
- 3 horizons pédologiques : H, B, C

∆ Dataset 1	# Nb_é	chantillons	# Nb_éléments
AquaR_ICP_AES_002mm_B		26	34
AquaR_ICP_AES_002mm_C		21	34
AquaR_ICP_AES_063mm_B		105	30
AquaR_ICP_AES_063mm_C		105	30
AquaR_ICP_AES_2mm_B		107	34
AquaR_ICP_AES_2mm_C		108	34
AquaR_ICP_AES_2mm_H		113	36
Hydroxy_ICP_MS_2mm_B		13	57
Hydroxy_ICP_MS_2mm_C		13	57
INAA_063mm_B		18	39
INAA_063mm_C		15	39
INAA_2mm_B		20	39
INAA_2mm_C		18	39
INAA_2mm_H		20	37
Multi_acid_ICP_AES_2mm_B		32	44
Multi_acid_ICP_AES_2mm_C		30	44
Multi_acid_ICP_AES_2mm_H		23	29
Na_py_ICP_MS_2mm_H		104	54





Critères spécifiques pour les métaux lourds dans les sols

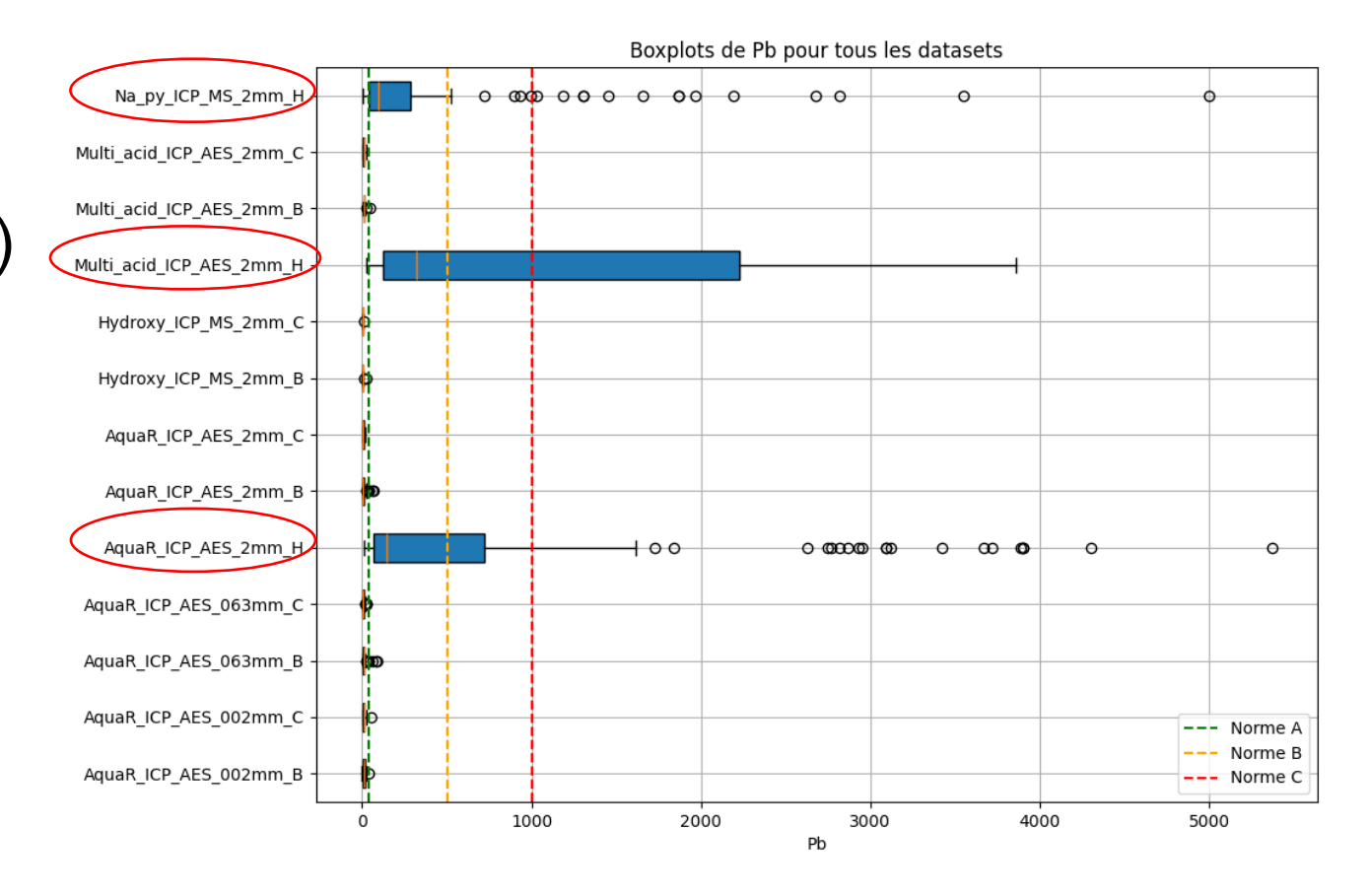
- Critère A : niveaux de fond naturels (province du supérieure)
- Critère B : protection des populations vulnérables (enfants et personnes âgées)
- Critère C : plus grande tolérance (exposition humaine est moins directe)

△ Élément	- [△] Code	# A (mg/kg)	# B (mg/kg)	# C (mg/kg)
Argent (Ag)	Ag	0.5	20	40
Arsenic (As)	As	5.0	30	50
Baryum (Ba)	Ba	240.0	500	2000
Cadmium (Cd)	Cd	0.9	5	20
Cobalt (Co)	Со	30.0	50	300
Chrome total (Cr)	Cr	100.0	250	800
Cuivre (Cu)	Cu	65.0	100	500
Étain (Sn)	Sn	5.0	50	300
Manganèse (Mn)	Mn	1000.0	1000	2200
Mercure (Hg)	Нд	0.3	2	2
Molybdène (Mo)	Мо	8.0	10	40
Nickel (Ni)	Ni	50.0	100	500
Plomb (Pb)	Pb	40.0	500	1000
Sélénium (Se)	Se	3.0	3	10
Zinc (Zn)	Zn	150.0	500	1500

https://www.environnement.gouv.qc.ca/sol/terrains/guide-intervention/annexe2.pdf

Analyse des résultats de MITE

- Résultats MITE sur le plomb (Pb)
- Effet significatif des combinaisons (digestion/analyse/granulo/pédologie)
- Horizon H:
 - plus grande variabilité statistique;
 - concentrations plus élevées.
- Extraction multiacide:
 - concentrations élevées;
 - variabilité accrue (dépasse significativement le critère C).





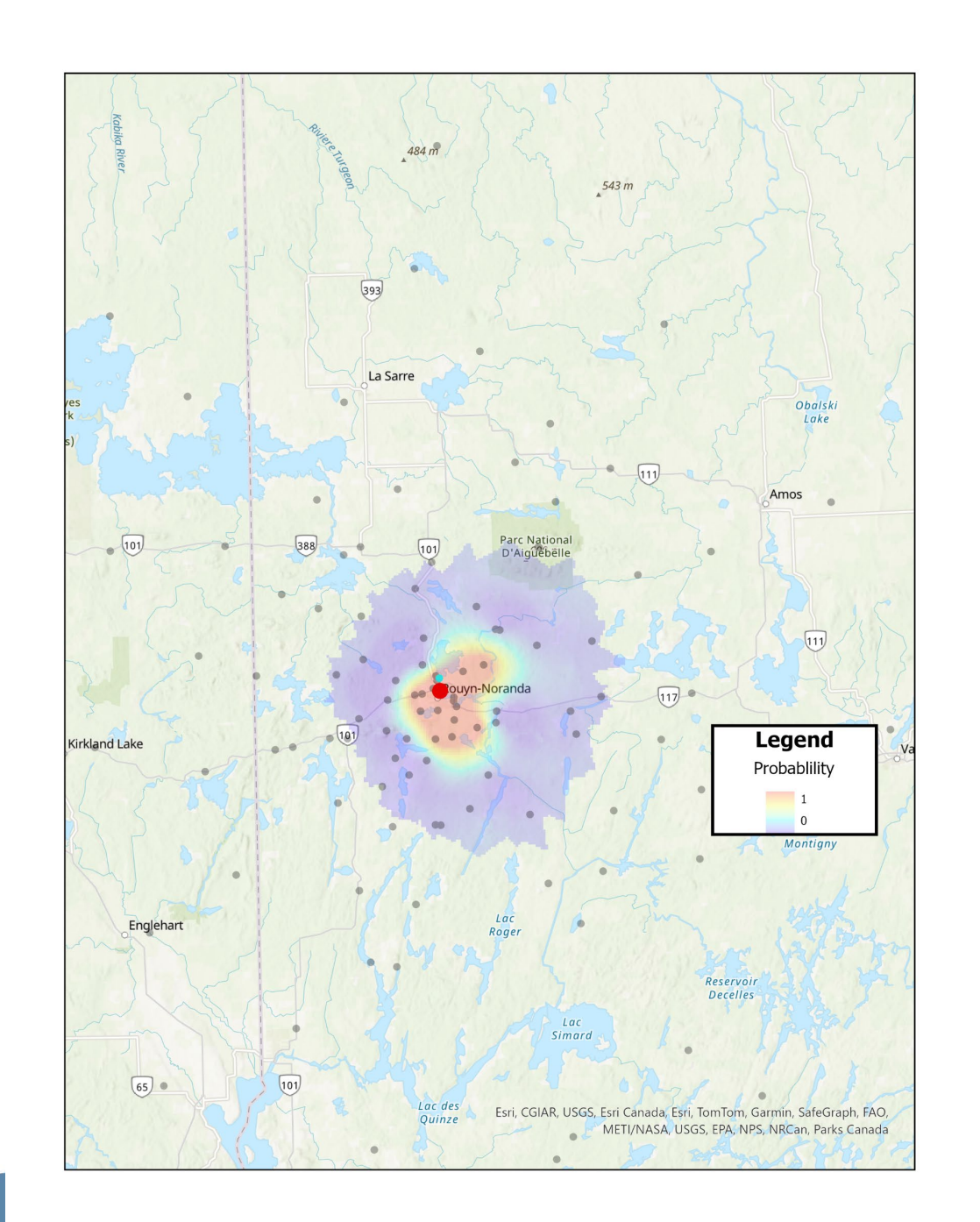


Modélisation données MITE

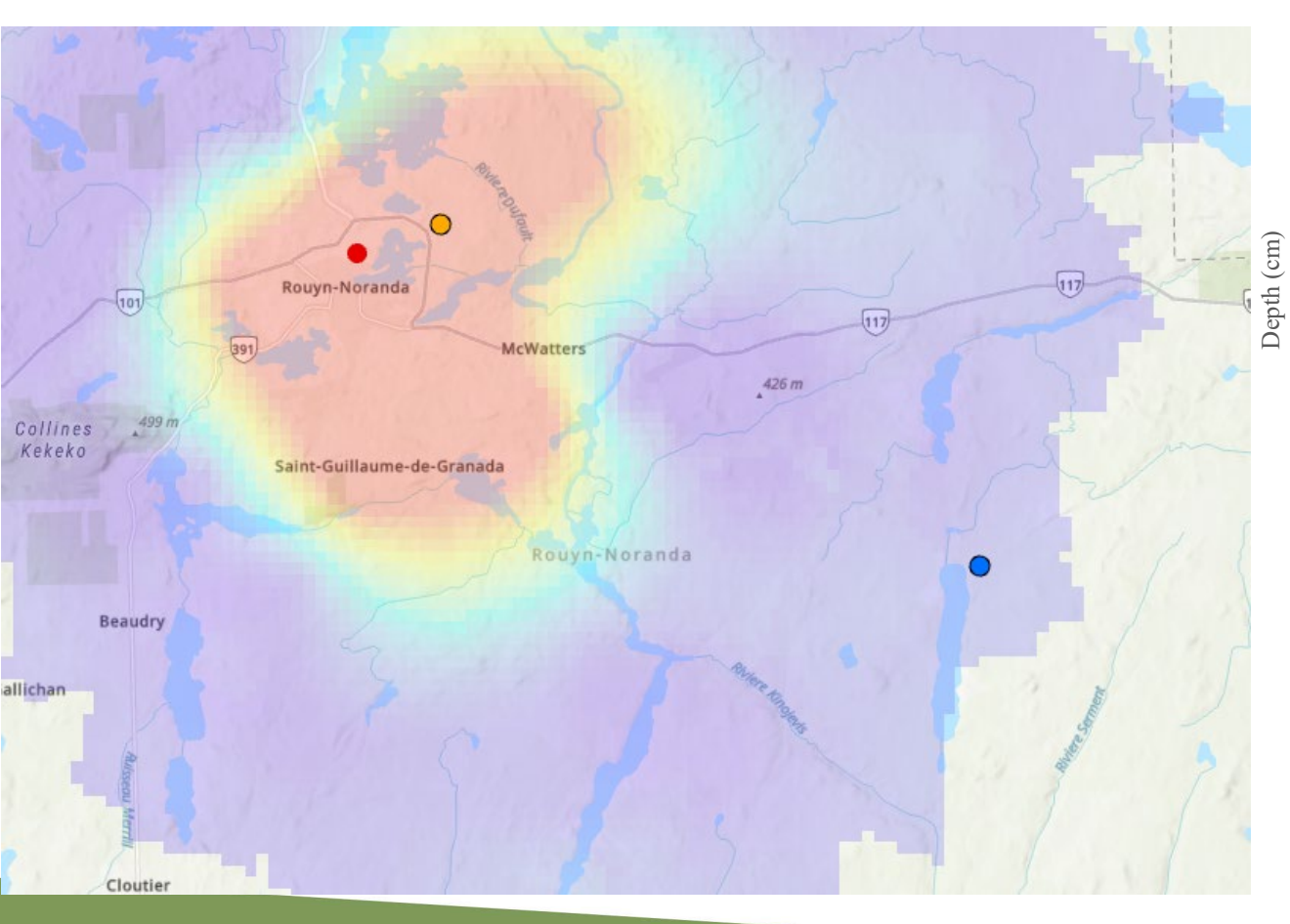
- Pb dans l'humus (Multi-acid + AquaR)
- Méthodologie :
 - krigeage ordinaire: modélisation initiale
 - Vario omnidirectionnel: nombre limité de données.
- Limites: incertitude des estimations non disponibles
- Krigeage d'indicatrice: quantifier incertitude pour interpréter le risque $I(x;z) = \begin{cases} 1 & \text{if } Z(x) > z \\ 0 & \text{else} \end{cases}$
- Cartes: probabilité dépasser critères (z):
 A (40ppm), B (500ppm) et C (1000ppm)

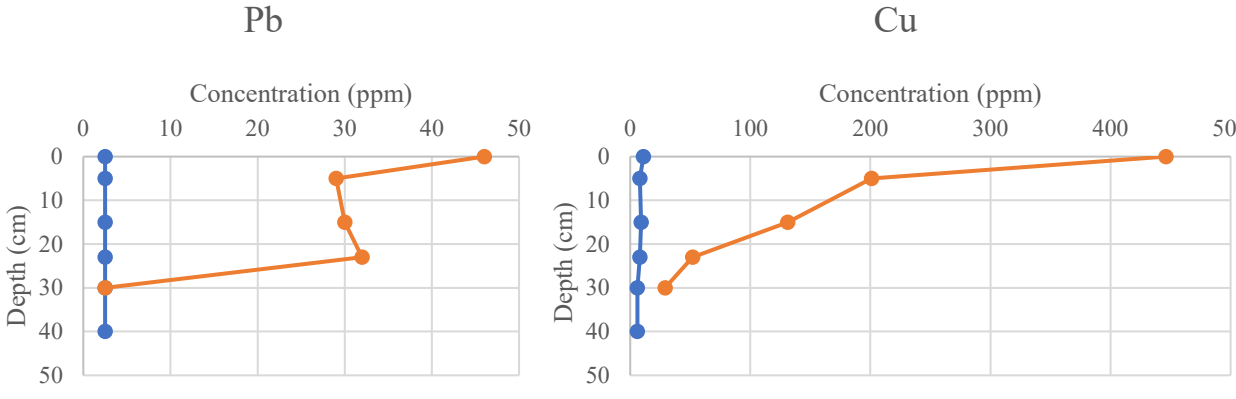






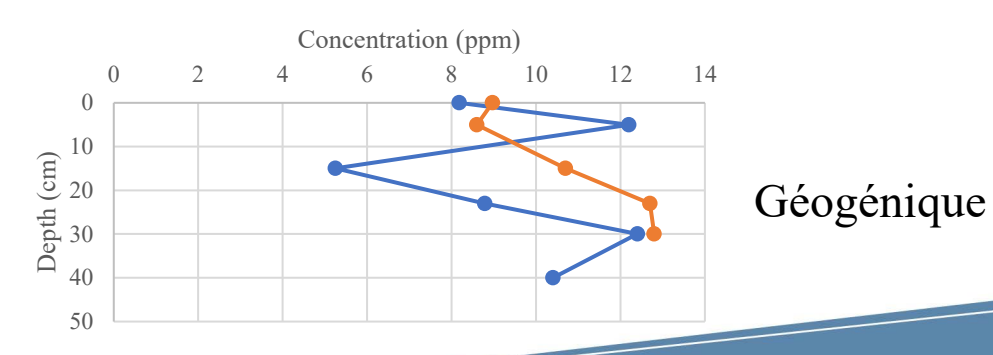
Résultats 2024 - Concentration sol minéral





Anthropique

Nd







Modélisation spatiale des métaux en milieu forestier

Travaux à venir

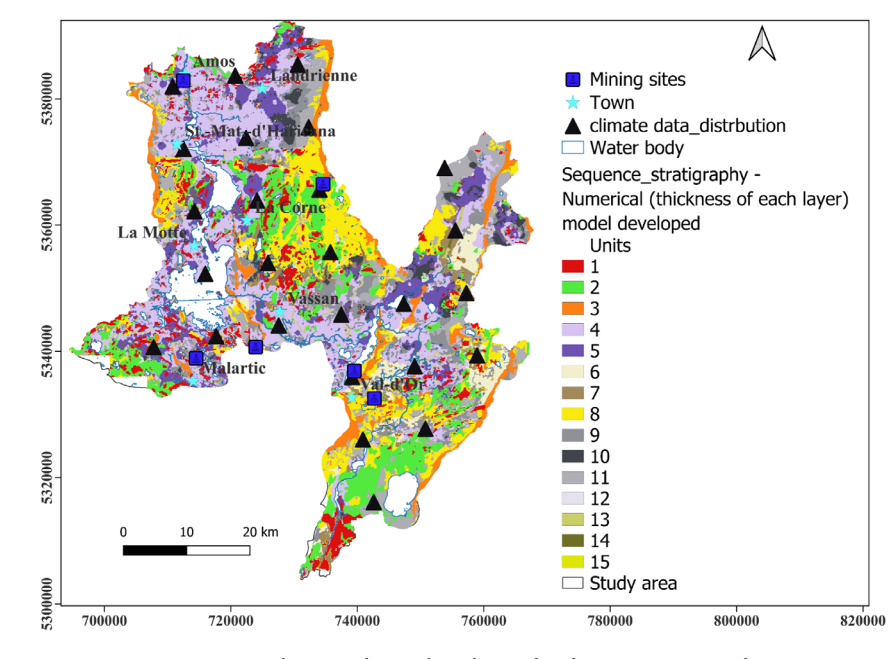
- Modélisation géostatistique
- Modélisation par apprentissage machine
- Combinaison des deux méthodes
- Carte de probabilité des critères spécifiques pour les métaux lourds dans les sols
- Origine des métaux : anthropique vs géogénique
- Modélisation spatiale des métaux dans les sols en Abitibi maîtrise de Renato Quijada-Campos





Estimation stochastique de la recharge

- Vulnérabilité des eaux souterraines à la contamination de surface par la recharge (Scanlon et al., 2002).
- Gestion de l'exploitation des eaux souterraines repose sur la recharge des aquifères.
- Estimation de la recharge demeure difficile à quantifier: incertitudes inhérentes (Healy, 2010).
- Évaluation de l'incertitude rarement appliquée dans les études d'estimation de la recharge (Xie et al., 2019).
- Estimation stochastique de la recharge et modélisation des eaux souterraines en Abitibi - Doctorat de Kassahun Aweke Arega



Sous-bassin de la rivière Harricana

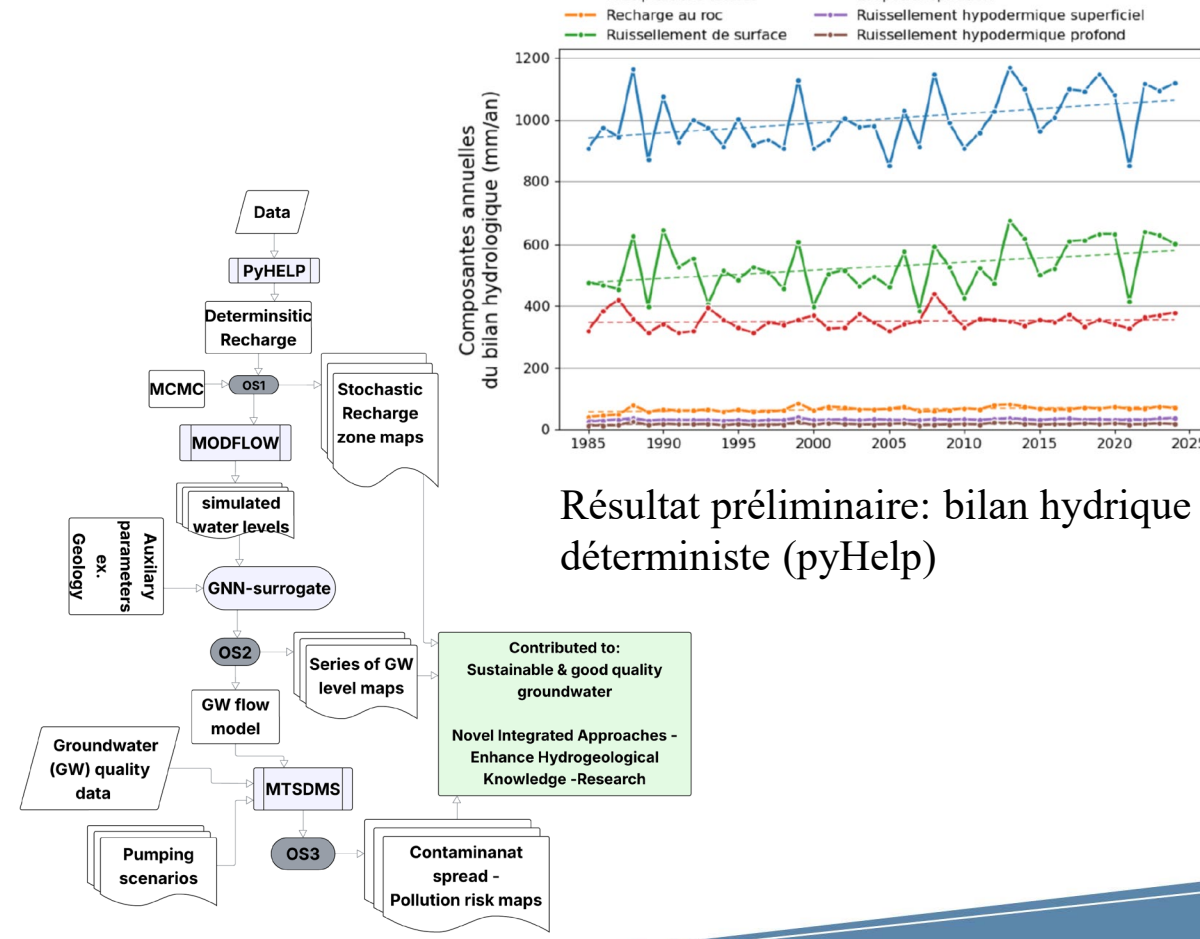






Estimation stochastique de la recharge

- Estimation stochastique de la recharge et quantifier l'incertitude - identifier les zones vulnérables.
- Modélisation prédictive des niveaux d'eau souterraine - scénarios climatiques et anthropiques;
- Simulation du transport des contaminants évaluation du risque.







Contact Information

- Josué J. Jautzy
 josue.jautzy@nrcan-rncan.gc.ca
- Joëlle Marion
 joelle.marion@nrcan-rncan.gc.ca
- Nicolas Benoit

 nicolas.benoit@nrcan-rncan.gc.ca

Thank you / Merci!







© His Majesty the King in Right of Canada, as represented by the Minister of Natural Resources, 2022





Table 8. Concentration values of metals in snow from various sources, including the classification of Galloway et al. (1982).

urban rural remote dustrial and urb dustrial, urban industrial industrial industrial industrial urban urban urban urban urban urban ruran	18-280 (34) 1-311 (36) 0.016-0.32 (0.22) ben 10.9 19.4 17.3 108.9 41.4 5.6 9.6 18-192 (25) 11.7-169 (18)	5.4-147 (44) 0.6-64 (12) 0.02-0.41 (0.09) 7.98 48.87 8.43 648.76 279.90 3.28 20.58 55-410 (83) 0.24-0.95 (0.59)	6.8-120 (41) 0.4-150 (5.4) 0.035-0.85 (0.06) 31.5 40.16 690.50 0.49 11.66 14.70 15-69 (19) 52.00 0.59-0.94 (0.92)	2-114 (12) 0.6-48 (2.4) <dl <dl 853 22 17-21 (19)</dl </dl 	0.48-2.3 (0.7) 0.008-46 (0.5) 0.004-0.639 (0.008) 0.28 0.30 315.095 12.52 0.06 0.17 0.17 0.1-1 (0.7)
rural remote dustrial and unt dustrial, urban dustrial industrial industrial industrial urban urban urban urban urban urban urban	(34) 1-311 (36) 0.016-0.32 (0.22) ban 10.9 19.4 17.3 108.9 41.4 5.6 9.6 18-192 (25) 11.7-169 (18)	7.98 48.87 8.43 648.76 279.90 3.28 20.58 55-410 (83) 0.24-0.95 (0.59)	(41) 0.4-150 (5.4) 0.035-0.85 (0.06) 31.5 40.16 690.50 0.49 11.66 14.70 15-69 (19) 52.00 0.59-0.94 (0.92)	(12) 0.6–48 (2.4) <dl <dl 853 22 17–21</dl </dl 	(0.7) 0.008–46 (0.5) 0.004–0.639 (0.008) 0.28 0.30 315.095 12.52 0.05 0.17 0.17 0.1–1 (0.7) 0.049–0.115 (0.084)
remote dustrial and urb dustrial, urban dustrial, urban industrial industrial industrial urban urban urban urban urban urban urban	1-311 (36) 0.016-0.32 (0.22) ban 10.9 19.4 17.3 108.9 41.4 5.6 9.6 18-192 (25) 11.7-169 (18)	0.6-64 (12) 0.02-0.41 (0.09) 7.98 48.87 8.43 648.76 279.90 3.28 20.58 55-410 (83) 0.24-0.95 (0.59)	0.4-150 (5.4) 0.035-0.85 (0.06) 31.5 40.16 690.50 0.49 11.66 14.70 15-69 (19) 52.00 0.59-0.94 (0.92)	0.6–48 (2.4) <dl <dl 853 22</dl </dl 	0.006-46 (0.5) 0.004-0.639 (0.008) 0.28 0.30 315.095 12.52 0.06 0.17 0.17 0.1-1 (0.7) 0.049-0.115 (0.084)
dustrial and urb dustrial, urban dustrial, urban industrial industrial industrial urban urban urban urban urban urban	0.016-0.32 (0.22) ban 10.9 19.4 17.3 108.9 41.4 5.6 9.6 18-192 (25) 11.7-169 (18)	7.98 48.87 8.43 648.76 279.90 328 20.58 55–410 (83) 0.24–0.95 (0.59)	31.5 40.16 690.50 0.49 11.66 14.70 15-69 (19) 52.00 0.59-0.94 (0.92)	*DĹ *DL 853 22	0.004-0.639 (0.008) 0.28 0.30 315.095 12.52 0.06 0.17 0.17 0.1-1 (0.7) 0.049-0.115 (0.084)
dustrial, urban dustrial, urban industrial industrial industrial urban urban urban urban urban urban	10.9 19.4 17.3 108.9 41.4 5.6 9.6 18-192 (25) 11.7-169 (18)	48.87 8.43 648.76 279.90 3.28 20.58 55–410 (83) 0.24–0.95 (0.59)	40.16 690.50 0.49 11.66 14.70 15-69 (19) 52.00 0.59-0.94 (0.92)	22 17–21	0.30 315.095 12.52 0.06 0.17 0.17 0.1–1 (0.7) 0.049–0.115 (0.084)
dustrial, urban industrial industrial industrial urban urban urban urban urban urban urban	19.4 17.3 108.9 41.4 5.6 9.6 18-192 (25) 11.7-169 (18)	48.87 8.43 648.76 279.90 3.28 20.58 55–410 (83) 0.24–0.95 (0.59)	40.16 690.50 0.49 11.66 14.70 15-69 (19) 52.00 0.59-0.94 (0.92)	22 17–21	0.30 315.095 12.52 0.06 0.17 0.17 0.1–1 (0.7) 0.049–0.115 (0.084)
industrial industrial industrial urban urban urban urban urban urban	17.3 108.9 41.4 5.6 9.6 18–192 (25) 11.7–169 (18)	8.43 648.76 279.90 3.28 20.58 55–410 (83) 0.24–0.95 (0.59)	690.50 0.49 11.66 14.70 15-69 (19) 52.00 0.59-0.94 (0.92)	22 17–21	315.095 12.52 0.06 0.17 0.17 0.1–1 (0.7) 0.049–0.115 (0.084)
industrial industrial urban urban urban urban urban urban	108.9 41.4 5.6 9.6 18-192 (25) 11.7-169 (18)	648.76 279.90 328 20.58 55-410 (83) 0.24-0.95 (0.59)	0.49 11.66 14.70 15-69 (19) 52.00 0.59-0.94 (0.92)	22 17–21	12.52 0.06 0.17 0.17 0.1–1 (0.7) 0.049–0.115 (0.084)
industrial urban urban urban urban urban urban urban	41.4 5.6 9.6 18-192 (25) 11.7-169 (18) 3.2	279.90 328 20.58 55-410 (83) 0.24-0.95 (0.59)	11.66 14.70 15-69 (19) 52.00 0.59-0.94 (0.92)	17-21	0.05 0.17 0.17 0.1–1 (0.7) 0.049–0.115 (0.084)
urban urban urban urban urban <i>Rural</i> rural	5.6 9.6 18-192 (25) 11.7-169 (18)	328 20.58 55-410 (83) 0.24-0.95 (0.59)	11.66 14.70 15-69 (19) 52.00 0.59-0.94 (0.92)	17-21	0.17 0.17 0.1–1 (0.7) 0.049–0.115 (0.084)
urban urban urban urban Rural rural	9.6 18-192 (25) 11.7-169 (18)	20.58 55-410 (83) 0.24-0.95 (0.59)	14.70 15-69 (19) 52.00 0.59-0.94 (0.92)		0.17 0.1–1 (0.7) 0.049–0.115 (0.084)
urban urban urban <i>Rural</i> rural	18–192 (25) 11.7–169 (18)	55–410 (83) 0.24–0.95 (0.59)	15-69 (19) 52.00 0.59-0.94 (0.92)		0.1-1 (0.7) 0.049-0.115 (0.084)
urban urban <i>Rural</i> rural	(25) 11.7–169 (18) 3.2	(83) 0.24-0.95 (0.59)	(19) 52.00 0.59-0.94 (0.92)		(0.7) 0.049-0.115 (0.084)
urban Rural rural	11.7–169 (18)	0.24-0.95 (0.59)	52.00 0.59-0.94 (0.92)	(19)	0.049-0.115 (0.084)
urban Rural rural	(18)	(0.59)	0.59-0.94 (0.92)		(0.084)
Rural rural	(18)	(0.59)	(0.92)		(0.084)
rural	3.2	(555)	, ,		,,
rural		1.34			6.46
		1.34		ı	
rural	4.6		3.6		0.12
		6.99	4.80		0.09
rural	2.1-5.4	0.52-2.54	0.39-4.01		0.018-0.097
rural	5.4	2.44	4.01		0.92
rural		1.86-7.15	0.67-5.03	0.60	
		(2.11)	(1.27)	(0.60)	
rural	10	8			
Remote					
remote	2.6	0.76	1.2		0.11
remote	2.8	2.13	1.80		0.05
remote	3.52	0.75	0.34	0.22	0.04
remote		0.8-12.4	0.2-1.5	0.9-25	
remote	0.3-63		0.4-5	0.0	
	(4.2)		(0.7)		
remote	0.8	0.63	0.26	0.18	0.012
xtreme remote	0.0042	0.0054	0.01		0.00031
ctreme remote	0.0004	0.004	0.01		0.00008
		0.14	0.04	0.06	0.011
ctreme remote	0.2	211			0.0002-0.0146
		0.013-2.7		I	0.0002-0.001
ctre	remote remote remote eme remote eme remote	remote remote 0.3–63 (4.2) remote 0.8 eme remote 0.0042 eme remote 0.0004	remote	remote	remote remote 0.3–63 0.8–12.4 0.2–1.5 0.9–25 0.4–5 0.4–5 0.7) remote 0.8 0.63 0.26 0.18 eme remote 0.0042 0.0054 0.01 eme remote 0.0004 0.004 0.01 eme remote 0.21 0.14 0.04 0.05 eme remote 0.016–0.300 0.013–2.7 0.013–2.65

Parts per billion (ppb) are the units equivalent to µg/L of thawed snow.



